

Curso: Métodos Numéricos II
Professor: Creto Augusto Vidal
Semestre: 2020.1
Aula # 15

1. Objetivo: Aplicar os métodos de integração estudados nas aulas anteriores para cálculo de áreas de superfícies e volumes.

2. Áreas de superfícies 2D.

Vamos começar por figuras geométricas simples: Retângulos, Triângulos, Trapézios, Círculos e Elipses (Figura 1)

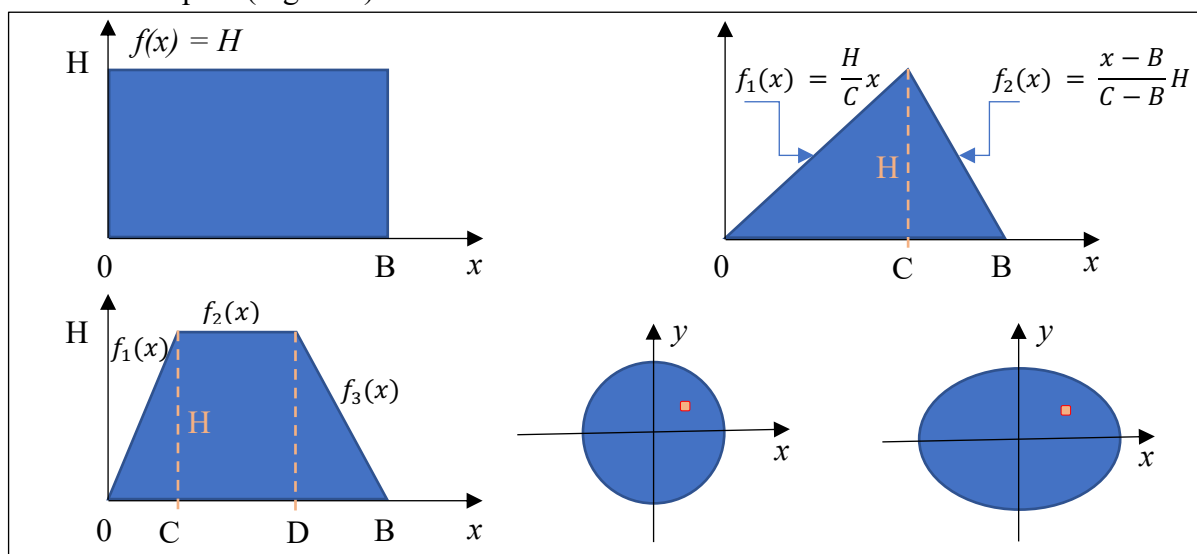


Figura 1. Retângulos, Triângulos, Trapézios, Círculos e Elipses

2.1 Área do retângulo

$$(1) A = \int_0^B f(x)dx = \int_0^B Hdx = H \int_0^B dx = H[x]_0^B = H(B - 0) = HB = BH.$$

De maneira trivial, usando Newton-Cotes fechada de grau 1

$$(2) A = \int_0^B f(x)dx = \frac{B-0}{2} (f(0) + f(B)) = \frac{B}{2} (H + H) = \frac{B}{2} (2H) = BH.$$

Usando-se Gauss-Legendre com dois pontos (um canhão para matar um mosquito), tem-se

$$(3) A = \int_0^B f(x)dx = \frac{B-0}{2} \left(f\left(\frac{B}{2} - \frac{B}{2}\frac{1}{\sqrt{3}}\right) + f\left(\frac{B}{2} + \frac{B}{2}\frac{1}{\sqrt{3}}\right) \right) = \frac{B}{2} (H + H) = \frac{B}{2} (2H) = BH.$$

2.2 Área do triângulo

$$\begin{aligned} A &= \int_0^C f_1(x)dx + \int_C^B f_2(x)dx \\ &= \int_0^C \frac{H}{C} x dx + \int_C^B \frac{x-B}{C-B} H dx \\ (4) \quad &= \frac{H}{C} \left(\frac{x^2}{2} \right)_0^C + \frac{H}{C-B} \left[\left(\frac{x^2}{2} \right)_C^B - B(x)_C^B \right] \\ &= \frac{H}{C} \frac{C^2}{2} + \frac{H}{C-B} \left[\frac{1}{2} (B^2 - C^2) - B(B - C) \right] \\ &= \frac{HC}{2} + \frac{H}{C-B} \left[\frac{1}{2} (B + C)(B - C) - B(B - C) \right] \end{aligned}$$

$$(5) \quad A = \frac{HC}{2} + \frac{H(B-C)}{C-B} \left[\frac{1}{2} (C-B) \right] = \frac{HC}{2} + \frac{H(B-C)}{2} = \frac{BH}{2}$$

$$(6) \quad A = \frac{BH}{2}$$

A fórmula da área do triângulo pode ser obtida de maneira mais simples se pensarmos que ela é a soma de pequenos retângulos de área $dA = dx \cdot dy$, onde dx e dy são os tamanhos dos lados de cada um desses pequenos retângulos (Figura 2).

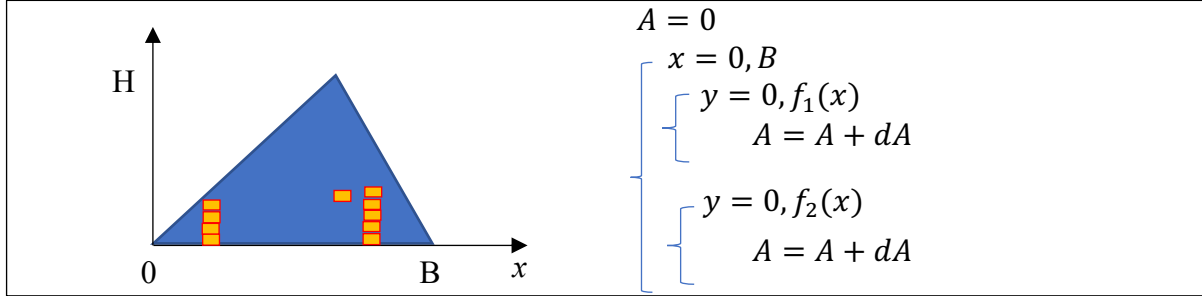


Figura 2. Preenchimento da área: para cada posição x , os elementos retangulares dA são empilhados até encontra o segmento de reta (lado do triângulo) acima daquela posição.

Porém, para preencher toda a área do triângulo, o empilhamento dos pequenos retângulos dA deve ser feito de forma organizada num processo que parece um loop aninhado (Figura 2). Neste caso particular do triângulo, a varredura (empilhamento) em coordenadas cartesianas (x, y) necessita as equações das retas $f_1(x)$ e $f_2(x)$. Quase sempre, é possível escolher outras variáveis que facilitam o processo.

Vamos ver como isso funciona. Na Figura 3, o elemento de área dA , vai deslizar ao longo da reta que liga o vértice superior, V , do triângulo ao ponto deslizante, P , que se move sobre a base do triângulo. Assim, a posição do ponto P vai ser descrita pela variável $\alpha \in [0, 1]$ e a posição do elemento de área dA vai ser descrita pela variável $\beta \in [0, 1]$. Portanto, as coordenadas x e y de dA são obtidas como função de α e β da seguinte forma

$$(7) \quad \begin{pmatrix} x \\ y \end{pmatrix} = \begin{pmatrix} x_P \\ y_P \end{pmatrix} + \beta \begin{pmatrix} C - x_P \\ H - y_P \end{pmatrix} = \begin{pmatrix} \alpha B \\ 0 \end{pmatrix} + \beta \begin{pmatrix} C - \alpha B \\ H - 0 \end{pmatrix} = \begin{pmatrix} \alpha B + \beta(C - \alpha B) \\ \beta H \end{pmatrix}.$$

Essas variáveis funcionam como um outro par de coordenadas em um sistema de coordenadas diferente do sistema (x, y) . O elemento de área infinitesimal (muito pequeno) neste novo sistema de coordenadas se relaciona com o elemento de área dA no sistema (x, y) por meio da seguinte equação

$$(8) \quad dA = |J| d\Omega,$$

onde $|J|$ é o determinante da matriz Jacobiana mostrada na equação (9), e $d\Omega$ é o elemento de área infinitesimal do sistema (α, β) , isto é

$$(9) \quad |J| = \det \begin{bmatrix} \frac{\partial x}{\partial \alpha} & \frac{\partial x}{\partial \beta} \\ \frac{\partial y}{\partial \alpha} & \frac{\partial y}{\partial \beta} \end{bmatrix} \stackrel{eq.(7)}{=} \det \begin{bmatrix} (B - \beta B) & (C - \alpha B) \\ 0 & H \end{bmatrix} = BH(1 - \beta)$$

e

$$(10) \quad d\Omega = d\alpha \cdot d\beta.$$

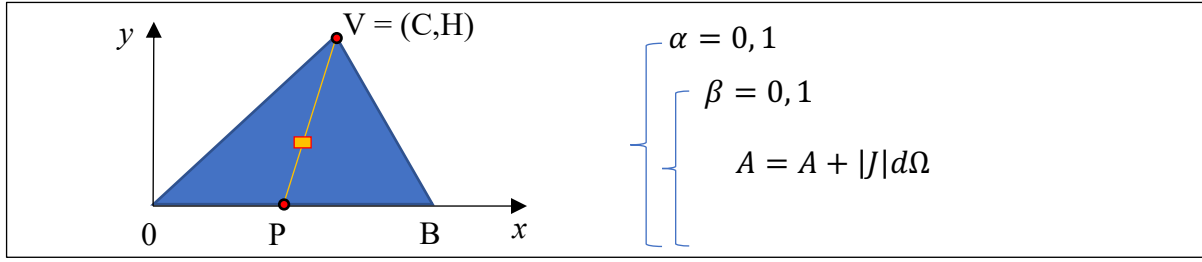


Figura 3. Mudança de variáveis para facilitar o processo de varredura.

Assim, fazendo-se mudança de variáveis, a área do triângulo pode ser calculada como

$$\begin{aligned}
 A &= \int_A dA = \int_{\Omega} |J| d\Omega \\
 &= \int_{\Omega} BH(1 - \beta) d\Omega \\
 &= \int_0^1 \left(\int_0^1 BH(1 - \beta) d\beta \right) d\alpha \\
 (11) \quad &= BH \int_0^1 \left(\int_0^1 d\beta - \int_0^1 \beta d\beta \right) d\alpha \\
 &= BH \int_0^1 \left(1 - \frac{1}{2} \right) d\alpha = \frac{BH}{2} \int_0^1 d\alpha \\
 A &= \frac{BH}{2}
 \end{aligned}$$

2.3 Área do trapézio

Fazendo uma mudança de variáveis análoga à que foi feita no caso do triângulo (Figura 4), temos que o elemento de área desliza sobre a reta PQ, e P e Q deslizam horizontalmente sobre os segmentos de retas horizontais inferior e superior, respectivamente. Assim

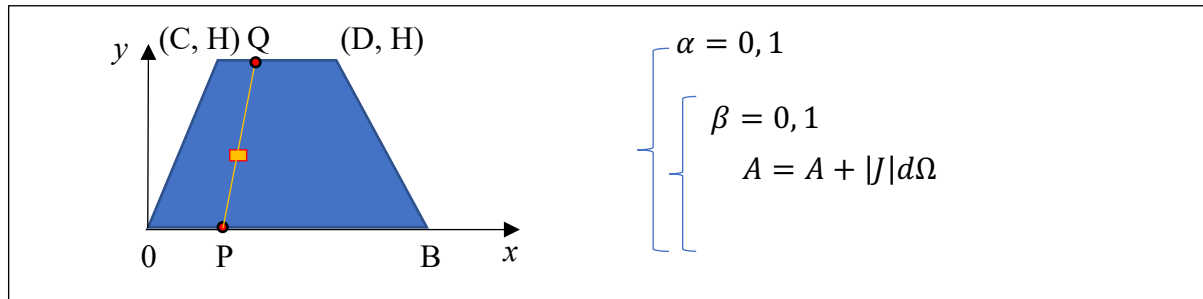


Figura 4. Mudança de variáveis para facilitar o processo de varredura no trapézio.

$$\begin{aligned}
 \begin{pmatrix} x \\ y \end{pmatrix} &= \begin{pmatrix} x_P \\ y_P \end{pmatrix} + \beta \begin{pmatrix} x_Q - x_P \\ y_Q - y_P \end{pmatrix} \\
 (12) \quad &= \begin{pmatrix} \alpha B \\ 0 \end{pmatrix} + \beta \begin{pmatrix} C + \alpha(D - C) - \alpha B \\ H - 0 \end{pmatrix} \\
 &= \begin{pmatrix} \alpha B + \beta(C + \alpha(D - C) - B) \\ \beta H \end{pmatrix}
 \end{aligned}$$

Assim, análogo ao que foi feito nas equações (8) e (9), temos

$$(13) \quad dA = |J| d\Omega$$

onde $|J|$ é o determinante da matriz Jacobiana mostrada na equação (14), e $d\Omega$ é o elemento de área infinitesimal do sistema (α, β) , isto é

$$\begin{aligned}
(14) \quad |J| &= \det \begin{bmatrix} \frac{\partial x}{\partial \alpha} & \frac{\partial x}{\partial \beta} \\ \frac{\partial y}{\partial \alpha} & \frac{\partial y}{\partial \beta} \end{bmatrix} \\
&\stackrel{eq.(12)}{=} \det \begin{bmatrix} (B + \beta(D - C - B)) & (C + \alpha(D - C - B)) \\ 0 & H \end{bmatrix} \\
&= BH + H(D - C - B)\beta
\end{aligned}$$

e

$$(15) \quad d\Omega = d\alpha \cdot d\beta.$$

Assim, fazendo-se mudança de variáveis, a área do trapézio pode ser calculada como

$$\begin{aligned}
(16) \quad A &= \int_A dA = \int_{\Omega} |J| d\Omega \\
&= \int_{\Omega} (BH + H(D - C - B)\beta) d\Omega \\
&= \int_0^1 \left(\int_0^1 (BH + H(D - C - B)\beta) d\beta \right) d\alpha \\
&= \int_0^1 \left(BH \int_0^1 d\beta + H(D - C - B) \int_0^1 \beta d\beta \right) d\alpha \\
&= \int_0^1 \left(BH + \frac{1}{2} H(D - C - B) \right) d\alpha = H \frac{1}{2} [B + (D - C)] \int_0^1 d\alpha
\end{aligned}$$

$$(17) \quad A = H \frac{1}{2} [B + (D - C)] = (\text{Altura vezes a média das bases})$$

2.4 Área do círculo de raio R

Fazendo uma mudança de variáveis análoga à que foi feita nos casos anteriores (Figura 5), temos que o elemento de área desliza sobre a reta OP, e P desliza sobre a circunferência de acordo com o ângulo β . Assim

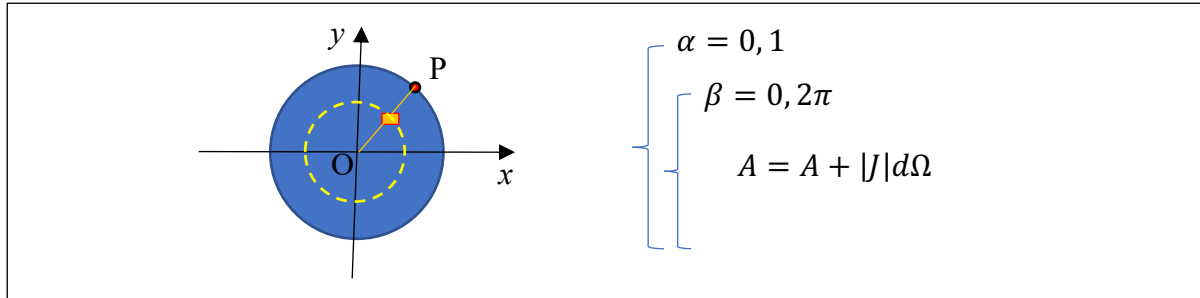


Figura 5. Mudança de variáveis para facilitar o processo de varredura no círculo: para cada posição ao longo do segmento OP, o loop interno descreve uma circunferência completa.

$$\begin{aligned}
(18) \quad \begin{pmatrix} x \\ y \end{pmatrix} &= \begin{pmatrix} 0 \\ 0 \end{pmatrix} + \alpha \begin{pmatrix} x_P \\ y_P \end{pmatrix} \\
&= \alpha \begin{pmatrix} R \cos(\beta) \\ R \sin(\beta) \end{pmatrix} \\
&= \begin{pmatrix} \alpha R \cos(\beta) \\ \alpha R \sin(\beta) \end{pmatrix}
\end{aligned}$$

Assim, análogo ao que foi feito nas equações (8) e (9), temos

$$(19) \quad dA = |J| d\Omega$$

onde $|J|$ é o determinante da matriz Jacobiana mostrada na equação (20), e $d\Omega$ é o elemento de área infinitesimal do sistema (α, β) , isto é

$$\begin{aligned}
 |J| &= \det \begin{bmatrix} \frac{\partial x}{\partial \alpha} & \frac{\partial x}{\partial \beta} \\ \frac{\partial y}{\partial \alpha} & \frac{\partial y}{\partial \beta} \end{bmatrix} \\
 (20) \quad &\stackrel{eq.(18)}{=} \det \begin{bmatrix} R \cos(\beta) & -\alpha R \sin(\beta) \\ R \sin(\beta) & \alpha R \cos(\beta) \end{bmatrix} \\
 &= R^2 \alpha (\cos^2(\beta) + \sin^2(\beta)) = R^2 \alpha
 \end{aligned}$$

e

$$(21) \quad d\Omega = d\alpha \cdot d\beta.$$

Assim, fazendo-se mudança de variáveis, a área do círculo pode ser calculada como

$$\begin{aligned}
 A &= \int_A dA = \int_{\Omega} |J| d\Omega \\
 &= \int_{\Omega} (R^2 \alpha) d\Omega \\
 (22) \quad &= \int_0^1 \left(\int_0^{2\pi} R^2 \alpha d\beta \right) d\alpha \\
 &= R^2 \int_0^1 \alpha \left(\int_0^{2\pi} d\beta \right) d\alpha \\
 &= 2\pi R^2 \int_0^1 \alpha d\alpha = 2\pi R^2 \frac{1}{2}
 \end{aligned}$$

$$(23) \quad A = \pi R^2$$

2.5 Área da elipse de semieixos a e b

Fazendo uma mudança de variáveis análoga à que foi feita nos casos anteriores (Figura 6), temos que o elemento de área desliza sobre a reta OP, e P desliza sobre a curva elíptica de acordo com o ângulo β . Assim

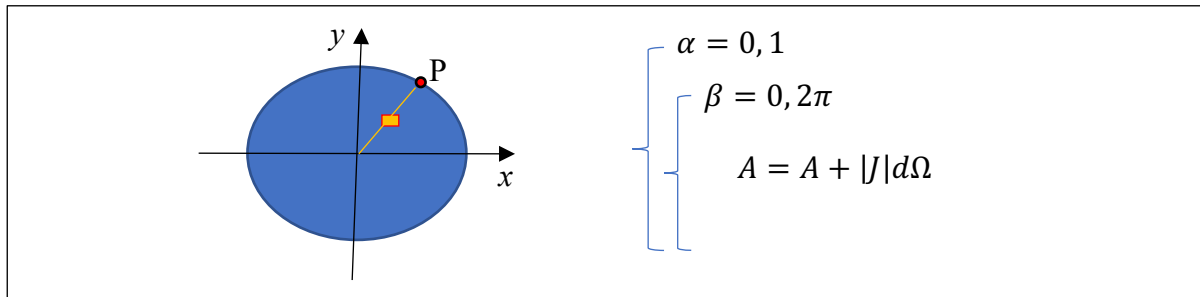


Figura 6. Mudança de variáveis para facilitar o processo de varredura na elipse.

$$\begin{aligned}
 \begin{pmatrix} x \\ y \end{pmatrix} &= \begin{pmatrix} 0 \\ 0 \end{pmatrix} + \alpha \begin{pmatrix} x_P \\ y_P \end{pmatrix} \\
 (24) \quad &= \alpha \begin{pmatrix} a \cos(\beta) \\ b \sin(\beta) \end{pmatrix} \\
 &= \begin{pmatrix} \alpha a \cos(\beta) \\ \alpha b \sin(\beta) \end{pmatrix}
 \end{aligned}$$

Assim, análogo ao que foi feito nas equações (8) e (9), temos

$$(25) \quad dA = |J|d\Omega$$

onde $|J|$ é o determinante da matriz Jacobiana mostrada na equação (26), e $d\Omega$ é o elemento de área infinitesimal do sistema (α, β) , isto é

$$(26) \quad \begin{aligned} |J| &= \det \begin{bmatrix} \frac{\partial x}{\partial \alpha} & \frac{\partial x}{\partial \beta} \\ \frac{\partial y}{\partial \alpha} & \frac{\partial y}{\partial \beta} \end{bmatrix} \\ &\stackrel{eq.(24)}{=} \det \begin{bmatrix} a \cos(\beta) & -a \sin(\beta) \\ b \sin(\beta) & a \cos(\beta) \end{bmatrix} \\ &= ab\alpha(\cos^2(\beta) + \sin^2(\beta)) = ab\alpha \end{aligned}$$

e

$$(27) \quad d\Omega = d\alpha \cdot d\beta.$$

Assim, fazendo-se mudança de variáveis, a área da elipse pode ser calculada como

$$(28) \quad \begin{aligned} A &= \int_A dA = \int_{\Omega} |J|d\Omega \\ &= \int_{\Omega} (ab\alpha)d\Omega \\ &= \int_0^1 \left(\int_0^{2\pi} ab\alpha d\beta \right) d\alpha \\ &= ab \int_0^1 \alpha \left(\int_0^{2\pi} d\beta \right) d\alpha \\ &= 2\pi ab \int_0^1 \alpha d\alpha = 2\pi ab \frac{1}{2} \end{aligned}$$

$$(29) \quad A = \pi ab$$

Note que, se os semieixos da elipse forem iguais $a = b = R$, a elipse é um círculo e a área fica

$$(30) \quad A = \pi ab = \pi RR = \pi R^2$$

3. Áreas de superfícies 3D no formato $z = f(x, y)$.

Em coordenadas cartesianas, o elemento infinitesimal de superfície dS associado à área infinitesimal dA no plano xy é dado por

$$(31) \quad dS = \left(\sqrt{\left(\frac{\partial f(x,y)}{\partial x} \right)^2 + \left(\frac{\partial f(x,y)}{\partial y} \right)^2 + 1} \right) dA.$$

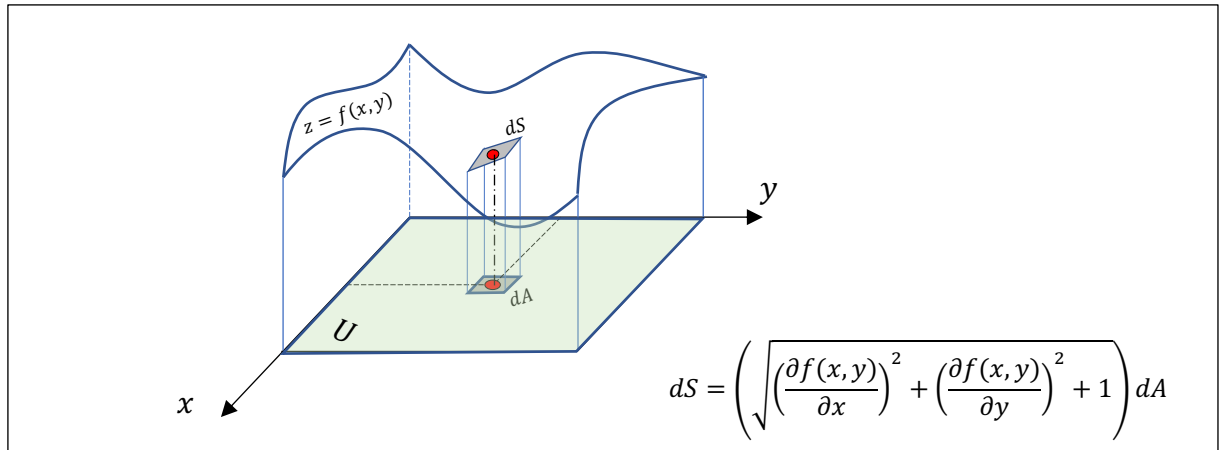


Figura 7. Área da superfície $z = f(x, y)$ para $(x, y) \in U \subset \mathbb{R}^2$

Assim, a área da superfície acima da região $U \subset xy$ é dada por

$$(32) \quad A = \int_S dS = \int_U \left(\sqrt{\left(\frac{\partial f(x,y)}{\partial x} \right)^2 + \left(\frac{\partial f(x,y)}{\partial y} \right)^2 + 1} \right) dA.$$

Geralmente, a integral que aparece na equação (32) é difícil de obter analiticamente. Assim, o uso das quadraturas neste caso é imprescindível. Vamos preparar um exemplo para ser resolvido numericamente.

Exemplo 1: Calcular a área da superfície do parabolóide hiperbólico mostrado na Figura 8.

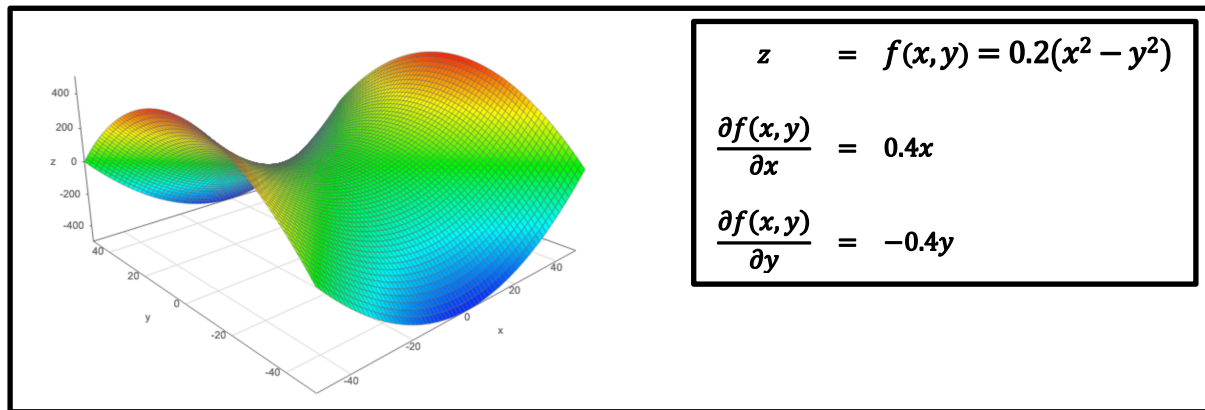


Figura 8. Parabolóide hiperbólico $z = f(x, y) = 0.2(x^2 - y^2)$.

Dados do problema:

Problema 1: A região $U \in xy$ é $U = \{(x, y) | -50\text{m} \leq x \leq 50\text{m}, -50\text{m} \leq y \leq 50\text{m}\}$

Problema 2: A região $U \in xy$ é $U = \{(x, y) \in \frac{x^2}{1600} + \frac{y^2}{1600} \leq 1\}$

Solução do Problema 1.

Substituindo-se as expressões dadas na Figura 8 e a região especificada nos dados do problema na equação (32), temos

$$(33) \quad \begin{aligned} A &= \int_S dS = \int_U \left(\sqrt{\left(\frac{\partial f(x,y)}{\partial x} \right)^2 + \left(\frac{\partial f(x,y)}{\partial y} \right)^2 + 1} \right) dA \\ &= \int_{-50}^{50} \left(\int_{-50}^{50} \left(\sqrt{(0.4x)^2 + (0.4y)^2 + 1} \right) dx \right) dy = 153467.00 \end{aligned}$$

- **Quadratura de Gauss-Legendre com três pontos na direção x e três pontos na direção y .**

A quadratura de Gauss-Legendre exige uma mudança de coordenadas dada pela expressão

$$(34) \quad \begin{pmatrix} x(\alpha, \beta) \\ y(\alpha, \beta) \end{pmatrix} = \begin{pmatrix} \frac{-50+50}{2} + \frac{50-(-50)}{2} \alpha \\ \frac{-50+50}{2} + \frac{50-(-50)}{2} \beta \end{pmatrix} = \begin{pmatrix} 50\alpha \\ 50\beta \end{pmatrix}.$$

Assim,

$$(35) \quad |J| = \det \begin{bmatrix} \frac{\partial x}{\partial \alpha} & \frac{\partial x}{\partial \beta} \\ \frac{\partial y}{\partial \alpha} & \frac{\partial y}{\partial \beta} \end{bmatrix} \stackrel{eq.(34)}{=} \det \begin{bmatrix} 50 & 0 \\ 0 & 50 \end{bmatrix} = 2500$$

e a mudança de variáveis na equação (33) fica

$$\begin{aligned}
A &= \int_{-1}^1 \left(\int_{-1}^1 \left(\sqrt{(0.4x(\alpha, \beta))^2 + (0.4y(\alpha, \beta))^2 + 1} \right) 2500 d\alpha \right) d\beta \\
&= \int_{-1}^1 \left(\int_{-1}^1 \left(\sqrt{(0.4(50\alpha))^2 + (0.4(50\beta))^2 + 1} \right) 2500 d\alpha \right) d\beta \\
(36) \quad &= \int_{-1}^1 \left(\int_{-1}^1 \left(\sqrt{(20\alpha)^2 + (20\beta)^2 + 1} \right) 2500 d\alpha \right) d\beta \\
&\approx 2500 \sum_{i=1}^3 \sum_{j=1}^3 \left(w_i w_j \sqrt{(20\alpha_j)^2 + (20\beta_i)^2 + 1} \right) = 146328.37 \text{m}^2.
\end{aligned}$$

A forma final na equação (36) indica que os termos entre parênteses têm de ser calculados nos nove pares ordenados (α_j, β_i) . Na forma tabular temos

(α_j, β_i)	$w_j w_i$	$g(\alpha_j, \beta_i) = \sqrt{(20\alpha_j)^2 + (20\beta_i)^2 + 1}$	$w_i w_j g(\alpha_j, \beta_i)$	*2500
$\left(-\sqrt{\frac{3}{5}}, -\sqrt{\frac{3}{5}}\right)$	$\frac{5}{9} \cdot \frac{5}{9} = \frac{25}{81}$	21.93171219956	6.76904697514	
$\left(0, -\sqrt{\frac{3}{5}}\right)$	$\frac{8}{9} \cdot \frac{5}{9} = \frac{40}{81}$	15.52417469626	7.66625910926	
$\left(\sqrt{\frac{3}{5}}, -\sqrt{\frac{3}{5}}\right)$	$\frac{5}{9} \cdot \frac{5}{9} = \frac{25}{81}$	21.93171219956	6.76904697514	
$\left(-\sqrt{\frac{3}{5}}, 0\right)$	$\frac{5}{9} \cdot \frac{8}{9} = \frac{40}{81}$	15.52417469626	7.66625910926	
(0,0)	$\frac{8}{9} \cdot \frac{8}{9} = \frac{64}{81}$	1	0.79012345679	
$\left(\sqrt{\frac{3}{5}}, 0\right)$	$\frac{5}{9} \cdot \frac{8}{9} = \frac{40}{81}$	15.52417469626	7.66625910926	
$\left(\sqrt{\frac{3}{5}}, \sqrt{\frac{3}{5}}\right)$	$\frac{5}{9} \cdot \frac{5}{9} = \frac{25}{81}$	21.93171219956	6.76904697514	
$\left(0, \sqrt{\frac{3}{5}}\right)$	$\frac{8}{9} \cdot \frac{5}{9} = \frac{40}{81}$	15.52417469626	7.66625910926	
$\left(\sqrt{\frac{3}{5}}, \sqrt{\frac{3}{5}}\right)$	$\frac{5}{9} \cdot \frac{5}{9} = \frac{25}{81}$	21.93171219956	6.76904697514	
			58.53134779439	146 328.37

Tarefa: Resolver o Problema 2, seguindo os seguintes passos:

- 1) Mudança de variável 1 como feito no caso da elipse;
- 2) Mudança de variável 2 como feito na solução do problema 1;
- 3) Usar quadratura de Gauss-Legendre com 3 pontos em cada direção.